

Письма в ЖЭТФ, том 19, вып. 1, стр. 23 – 28

5 января 1974 г.

О САМОФОКУСИРОВКЕ ЛЕНГМЮРОВСКИХ КОЛЕБАНИЙ

A.Г.Литвак, Г.М.Фрайман, А.Д.Юнаковский

С помощью вычислений на ЭВМ и качественного анализа уравнений исследован характер нестационарной самофокусировки ленгмюровских колебаний изотронной плазмы. Определены условия, при которых процесс самофокусировки приводит к эффективной диссипации энергии плазмонов.

В работе приведены результаты исследования самофокусировки пространственно-локализованных ленгмюровских колебаний изотронной плазмы. Интерес к этому вопросу связан, в частности, с выдвинутой в [1] гипотезой о возможности коллапса ленгмюровских колебаний, приводящего к их эффективной диссипации.

Рассмотрим эволюцию сферически симметричного распределения продольных плазменных колебаний с электрическим полем $\mathbf{E} = \mathbf{r}_0 E(r, t) e^{i\omega_p t}$, \mathbf{r}_0 – единичный вектор. Для описания самовоздействия используем стандартную систему уравнений, состоящую из параболического уравнения для медленной амплитуды поля $E(r, t)$ и уравнения для малых возмущений плотности плазмы, δn , возникающих в неоднородном высокочастотном поле,

$$-2i \frac{\partial A}{\partial r} + \Delta_x A - \frac{2}{x^2} A - nA = 0, \quad (1)$$

$$\frac{1}{u^2} \frac{\partial^2 n}{\partial r^2} - \Delta_x n = \Delta_x |A|^2. \quad (2)$$

Здесь введены безразмерные переменные: $x = r(3r_D\sqrt{g})^{-1}$, $r = \omega_p t / 3g$,

$$A = E(16\pi NT_e/3g)^{-1/2}, \quad n = 3g \frac{Sn}{N}, \quad g = \frac{T_e}{T_e + T_i} \frac{M}{mu^2}, \quad \Delta_x = \frac{1}{x^2} \frac{\partial}{\partial x} x^2 \frac{\partial}{\partial x},$$

r_D – дебаевский радиус, T_e , T_i и m , M – температуры и массы электронов и ионов, N – невозмущенная концентрация плазмы, u – параметр подобия.

Анализ системы (1), (2) показывает, что следует различать две стадии самофокусировки колебаний с полной энергией, большей критической. При малых амплитудах $A_m^2 \ll u^2$ распределение поля меняется медленно и возмущения концентрации успевают выноситься со скоростью звука из области поля, так что нелинейность среды является экспоненциальной $n = -|A|^2$. Процесс самофокусировки при этом аналогичен процессу в нелинейной оптике и несколько видоизменяется из-за векторного характера поля ($E = 0$ при $r = 0$) и трехмерности задачи. Величина поля в максимуме возрастает из-за одновременного смещения максимума к центру $r = 0$ и обужения его ширины. Однако "дозвуковая" самофокусировка может привести лишь к величине амплитуды $|A|^2 \lesssim u^2$, что эквивалентно соотношению для плотности энергии $W/NT_e \lesssim m/M$. Поэтому основным является вопрос о характере самофокусировки колебаний на последующей "сверхзвуковой" стадии, на которой скорость изменения поля превышает скорость звука.

Для получения ответа можно попытаться упростить задачу, опустив в уравнении (2) член, описывающий перенос возмущений¹⁾

$$\frac{\partial^2 n}{\partial r^2} = u^2 \Delta_x |A|^2. \quad (3)$$

Вывод о коллапсе в [1] базировался на найденном автомодельном решении системы (1), (3), содержащем сингулярность электрического поля. Однако при нахождении этого решения в [1] было использовано некорректное предложение о том, что фаза поля остается не зависящей от координаты r на этой стадии самофокусировки.

Можно показать, что система (1), (3) обладает только автомодельными решениями вида

$$A(x, t) = \frac{\mathcal{E}(z)}{t_o - t}, \quad n(x, t) = \frac{N(z)}{t_o - t}, \quad z = x(t_o - t)^{-1/2}, \quad (4)$$

но эти решения не удовлетворяют закону сохранения полной энергии, которому должны удовлетворять решения исходной системы с конечной энергией. Действительно, при $t \rightarrow t_o$ полная энергия $p \approx 4\pi \int |A|^2 x^2 dx$

$\sim (t_o - t)^{-1/2} \int_0^\infty |\mathcal{E}(z)|^2 z^2 dz$. Такое автомодельное решение если и

содержит информацию об эволюции колебаний с конечной энергией, то, по-видимому, означает, что при самофокусировке этих колебаний возможно лишь возникновение сингулярностей, содержащих нулевую энергию и потому не представляющих физического интереса.

¹⁾ Такое приближение разумеется справедливо в интервале времени $(r < a/u, a$ – пространственный масштаб).

Для выяснения характера самофокусировки на "сверхзвуковой" стадии мы решали исходную систему (1), (2) на ЭВМ со следующими начальными условиями

$$A(0, x) = A \frac{x}{a_0} \exp\left(-\frac{x^2}{2a_0^2}\right), \quad n(0, x) = -A^2(0, x) \cdot \frac{\partial u}{\partial r}(0, x) = 0. \quad (5)$$

В качестве иллюстрации на рис. 1, 2 приведены результаты вычислений для соответствующих "сверхзвуковым" условиям параметров

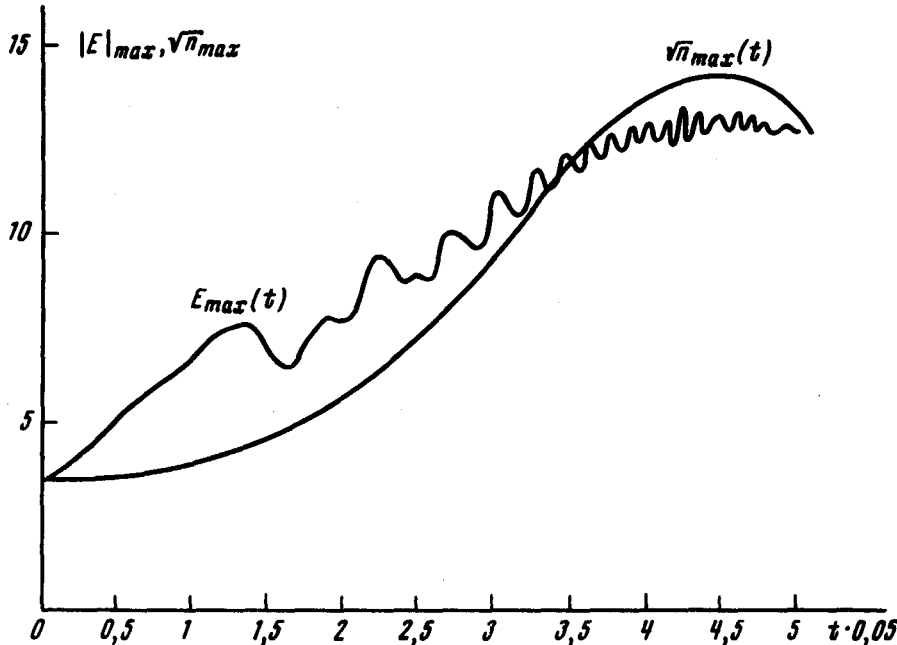


Рис. 1

$A_0 = 6$, $a_0 = 2$, $u = 0,25$. На рис. 1 изображена зависимость от времени максимальных значений E и n , на рис. 2, а и б – распределения $E(r)$ и $n(r)$ для моментов времени $t = 0$, $t = 2,25$, $t = 4,25$. Из рисунков следует, что, поскольку скорость изменения поля превышает скорость звука, одновременно с фокусировкой колебаний происходит накопление в центре ($r = 0$) частиц, выносимых из области максимума поля. Диэлектрическая проницаемость плазмы в центре становится отрицательной $\epsilon = -n < 0$, это препятствует движению максимума поля и приводит к его остановке. Поэтому самофокусировка происходит как в одномерном случае, т.е. сопровождается лишь уменьшением эффективной ширины сферического слоя колебаний. Затем рост амплитуды замедляется и наступает обратный процесс расфокусировки, максимальное возмущение концентрации успевает достичь к этому моменту квазистационарного значения $n_{max} = -|A|_{max}^2$. В целом картина оказывается довольно сложной – наряду с фокусировкой происходит дробление области поля, связанное с генерацией звука¹⁾, захватывающего часть плазменных колебаний и уносящего их на бесконечность.

¹⁾ Введение в уравнение (2) модельного затухания звука приводит к ослаблению дробления.

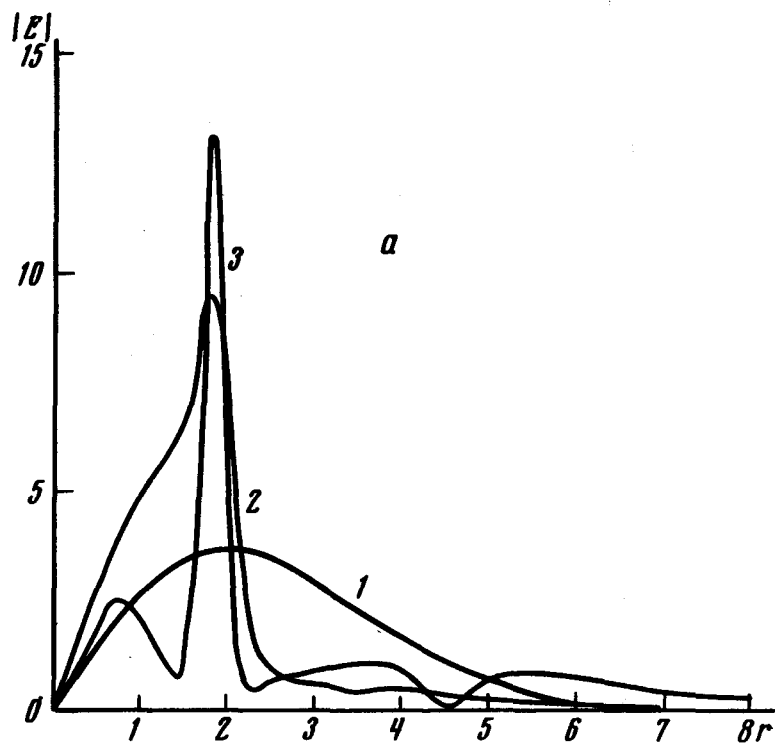


Рис. 2, а

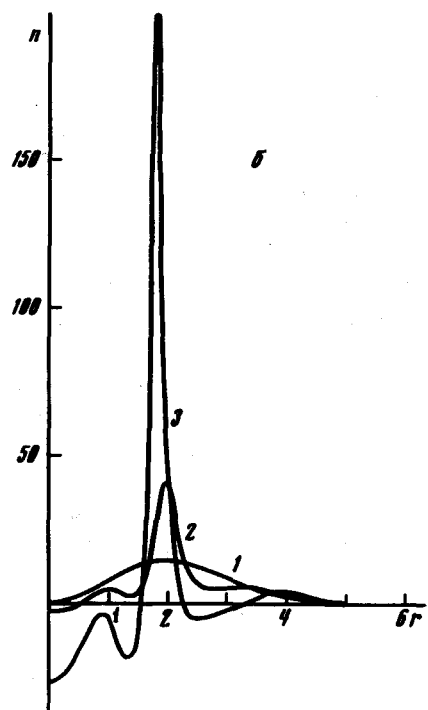


Рис. 2, б

Для получения оценочных соотношений мы воспользуемся безабер-
рационным приближением, хорошо известном в нелинейной оптике [2],
т.е. предположим, что в процессе самофокусировки форма начального
распределения остается неизменной, а меняется лишь его характерный
масштаб a : $a(t)$. Не останавливаясь на подробностях (они будут
опубликованы позднее), отметим лишь, что в соответствии с результатами
вычислений на ЭВМ были рассмотрены два предельных случая.
При "дозвуковой" трехмерной фокусировке начального распределения
поля (4) происходит уменьшение масштаба $a(t)$ до величины $a^* \sim$
 $\sim(1/2)P_0^{1/3}$, $P_0 = (3\pi^{3/2}/2)A_0^2a_0$ – полная начальная энергия, а
минимальный размер, достигаемый при дальнейшей одномерной фоку-
сировке сферического слоя колебаний составляет $a_{min} \sim P_0^{-1/3}$. Ес-
ли же начальные параметры "сверхзвуковые", то происходит одномер-
ное сжатие до размера $a_{min} \sim \frac{2}{\pi^{3/2}A_0^2a_0}$. Очевидно, эти соотношения

дают завышенную оценку эффекта самофокусировки¹⁾, что согласу-
ется и с результатами численных экспериментов, в которых a_{min} в
2 \div 3 раза превышало величину, следующую из оценок

Приведем в размерных переменных соотношения для максимального
волнового числа ($k_{max} = \pi/a_{min}$), достигаемого в процессе самофо-
кусировки колебаний с "дозвуковыми" и "сверхзвуковыми" начальными
параметрами соответственно

$$(k_{max}r_D) \sim \begin{cases} 1,7 \left(\frac{W_0}{NT_e}\right)^{1/3} \left(\frac{m}{M}\right)^{2/3} (k_0 r_D)^{-1} \\ \frac{W_0}{NT_e} (k_0 r_D)^{-1} \end{cases} \quad (5)$$

Здесь принято, что $T_e >> T_i$, $n \sim 1$, W_0 и k_0 – начальные плотность
энергии и волновое число колебаний. Отсюда можно, например, полу-
чить условие того, что в результате самофокусировки колебания
попадут в область спектра, в которой играет существенную роль за-
тухание Ландау ($k_{max}r_D \sim 1$): это произойдет , если

$$\frac{W_0}{nT_e} > \begin{cases} 0,1(k_0 r_D)^3 \left(\frac{M}{m}\right)^2 \\ (k_0 r_D) \end{cases} \quad (6)$$

Из (6), в частности, следует, что колебания, удовлетворяющие усло-
вию слабой турбулентности, по существу, не могут в результате са-
мофокусировки достичь области сильного поглощения . В отсутст-
вии соударений энергия таких колебаний может, по-видимому, дисси-
пировать лишь вследствие возбуждения ионного звука при квазипери-
одических пульсациях области ленгмюровских колебаний.

¹⁾ Для оценки сверху результатов одномерной самофокусировки мы по-
лагаем, что $n = -|A^2(r)|$.

Авторы признательны А.А.Андронову за полезные дискуссии.

**Научно-исследовательский
радиофизический институт**

**Поступила в редакцию
2 ноября 1973 г.**

Литература

[1] В.Е.Захаров. ЖЭТФ, 62, 1745, 1972.

[2] В.И.Беспалов, А.Г.Литвак, В.И.Баланов. Сб. Нелинейная оптика, М.,
изд. Наука, 1968 г., стр. 428.
